

ISSN 1563-0234
ИНДЕКС 75868; 25868

ӘЛ-ФАРАБИ Атындағы ҚАЗАҚ ҰЛТТЫҚ УНИВЕРСИТЕТІ

КазҰУ ХАБАРШЫСЫ

ГЕОГРАФИЯ СЕРИЯСЫ

КАЗАХСКИЙ НАЦИОНАЛЬНЫЙ УНИВЕРСИТЕТ имени АЛЬ-ФАРАБИ

ВЕСТНИК КазНУ

СЕРИЯ ГЕОГРАФИЯ

AL-FARABI KAZAKH NATIONAL UNIVERSITY

KazNU BULLETIN

GEOGRAPHY SERIES

№2 (35)

Алматы
"Қазақ университеті"
2012

МАЗМУНЫ – СОДЕРЖАНИЕ

1-бөлім ФИЗИКАЛЫҚ, ЭКОНОМИКАЛЫҚ ЖӘНЕ ӘЛЕУМЕТТІК ГЕОГРАФИЯ

Раздел 1 ФИЗИЧЕСКАЯ, ЭКОНОМИЧЕСКАЯ И СОЦИАЛЬНАЯ ГЕОГРАФИЯ

<i>Г.Н. Нұсупова, А.М. Катимурзина</i> Использование системно-динамической программы Powersim для построения модели показателей населения 3
<i>Р.Т. Бексемитова, А.М. Жұмайдулова</i> Экологикалық-геоморфологиялық ортандык антропогендік күрүші факторы (Орталық, Қазақстан мысалында) 8
<i>А.М. Сергеева, А.С. Снасатина</i> Монокола ретінде Хромтау каласының алеуметтік-экономикалық, заму бағыттары мен заңдылықтары 12
<i>Д. Шокирова</i> Ландшафттық, карталардың күрестірудагы және технологиясын іс-жүзінде колдану 17

2-бөлім МЕТЕОРОЛОГИЯ ЖӘНЕ ГІДРОЛОГИЯ

Раздел 2 МЕТЕОРОЛОГИЯ И ГИДРОЛОГИЯ

<i>К.Г. Макаревич, С.Е. Полякова, А.Ю. Смирнова</i> Исследование современного состояния ледника Туксусу 24
<i>Г.К. Тұрутіна, А.А. Останова</i> Низкие температуры воздуха зимой на западе Казахстана 36
<i>С.Е. Полякова, Е.А. Таланов</i> Климатические и энергетические показатели процесса опустынивания для Казахстана 45
<i>М.М. Молдасметов, Л.К. Махмудова, А.К. Мусина</i> Жетісу Алатауында жүріш еткен сел тасқындарын ретроспективальық түркіздін талдау 54
<i>С.Е. Полякова, А.Н. Барабошина</i> Метеорологические условия образования туманов в аэропорту города Алматы и их влияние на работу авиации 59

3-бөлім ГЕОЭКОЛОГИЯ

Раздел 3 ГЕОЭКОЛОГИЯ

<i>Р.Ш. Абдиев, С.С. Нұржин, Р. Сильвестри</i> Природоохранные мероприятия при эксплуатации полигонов твердых бытовых отходов Казахстана 72

**МЕТЕОРОЛОГИЯ
ЖӘНЕ
ГИДРОЛОГИЯ**

**МЕТЕОРОЛОГИЯ
И
ГИДРОЛОГИЯ**

**METEOROLOGY
AND
HYDROLOGY**

УДК 551.52

¹К.Г. Макаревич, ²С.Е. Полякова*, ²А.Ю. Смирнова

¹ТОО «Институт географии», Республика Казахстан, г. Алматы

²Казахский национальный университет им. аль-Фараби, Республика Казахстан, г. Алматы

*E-mail: svetlana.polyakova@kaznu.kz

Исследование современного состояния ледника Туюксу

Метеорологические данные о леднике Туюксу являются основным источником анализа изменения климата в гляциально-нивальной зоне северного склона Иле Алатау. В данной статье рассмотрены основные метеорологические величины (температура воздуха, количество осадков) за период 1972-2008 гг. по гляциологической станции Туюксу-1 и метеорологическим станциям Мынжилки и Алматы и выявлены тенденции их изменения. Кроме того, рассчитаны величина годового испарения E, средняя скорость изменения испарения за 10 лет и коэффициент увлажнения Ku. В соответствие с градациями степени увлажнения по Н. Иванову рассматриваемые станции отнесены к зоне увлажнения. Построены корреляционные зависимости между метеорологическими параметрами и параметрами ледника.

Ключевые слова: ледник Туюксу, изменение климата, метеорологические величины, Иле Алатау, испарение, коэффициент увлажнения, корреляционная зависимость.

К.Г. Макаревич, С.Е. Полякова, А.Ю. Смирнова

Түйүксьұ мұздығының қазіргі зерттелу жағдайы

Бұл макалада 1972-2008 ж. бір гляциологиялық және екі метеорологиялық станция бойынша: Түйүксьұ-1, Мынжилкі және Алматы негізгі метеорологиялық көрсеткіштері (да температурасы, жауын-шашын мөшшері) көрсетірылған. Узынтық журдік графиктері түрлізілген, салттар және шілде айтарлықтар да температурасы мен жауын-шашының ліпкі мәндері бойынша аномальялар есептелген. Алматы, Мынжилкі және Түйүксьұ-1 станциялары бойынша Е жылдық буалану және Ku ылғалдану коэффициенті есептелген.

Түйін сөздер: Түйүксьұ мұздығы, климаттың өзгеруі, метеорологиялық элементтер, Іле Алатауы, буалану, буалану коэффициенті, корреляциондық тәуелділік

K.G. Makarevich, S.E. Polyakova, A.Y. Smirnova

The research of modern condition of the glacier Tuyuksu

Meteorological data on Tuyuksu glacier are the main source of analysis of climate change in glacial-nival zone of the northern slope of the Ile Alatau. This article describes the basic meteorological variables (temperature, precipitation) for the period 1972-2008 gg. on glaciological station Tuyuksu-1 and meteorological stations Mynzhilki Almaty and tendencies of their changes. In addition, the values of annual evaporation E, the average rate of change of evaporation over 10 years and moistening coefficient Ku were calculated. In accordance with the gradations of humidity on N. Ivanov viewed stations were assigned to moisture zone. The correlation dependencies between meteorological parameters and the parameters of the glacier were built.

Keywords: Tuyuksu glacier, climate change, meteorological quantities, Ile Alatau, evaporation, moisture factor, correlation.

Одной из самых актуальных задач современной метеорологии является прогноз изменения климата и изучение особенностей реакции геосистем на его изменение. Наиболее благоприятные возможности для изучения динамики климатических условий представляет анализ неустойчивых или находящихся в пороговом состоянии геосистем. Среди них выделяют горные нивально-глациальные системы, в которых особое место принадлежит ледникам, наиболее чутко реагирующим на изменение климата. Виллесов Е.Н., Уваров В.Н. отмечали, что современное опледенение горных областей является важным природным феноменом, с режимом которого связаны многие гидрометеорологические процессы и явления [1].

В последние десятилетия большое внимание уделяется вопросу деградации оледенения и влиянию изменения основных метеорологических величин на гляциологические параметры ледников [2-7].

Оледенение Илейского Алтая расположено в труднодоступной гляциально-нивальной зоне, не имеющей достаточного количества метеорологических и гляциологических станций, поэтому оно требует повышенного внимания со стороны науки и проведения постоянного мониторинга за климатическими показателями и влияние их изменений на главные гляциологические параметры ледников. Ледник Туксусу

является эталонным ледником горной системы Тянь-Шань, на котором ведутся постоянные наблюдения с 1956 г. Данные о леднике передаются в Мировую службу мониторинга ледников и во Всемирную Метеорологическую Организацию [8-9]. Эти данные являются основным источником анализа изменения климата в гляциально-нивальной зоне северного склона Илейского Алтая.

Изменение климата приводит к сокращению площади и объема ледников, изменяет баланс массы ледников и, в итоге, общий сток рек, берущих свое начало высоко в горах и имеющих в качестве основного источника питания ледники. Поэтому изучение климатических особенностей районов оледенения, анализ метеорологических показателей и мониторинг климатических систем являются важными задачами для метеорологов и гляциологов страны.

Исходными данными при исследовании были среднемесячные температуры воздуха и месячные суммы осадков января и июля за 1972-2008 гг. по трем метеорологическим станциям (МС) Туксус-1, Мынжилки и Алматы. Такие были использованы многолетние данные рассматриваемых метеорологических величин [10].

На рисунках 1 и 2 представлен временной ход средней месячной температуры воздуха в январе и июле.

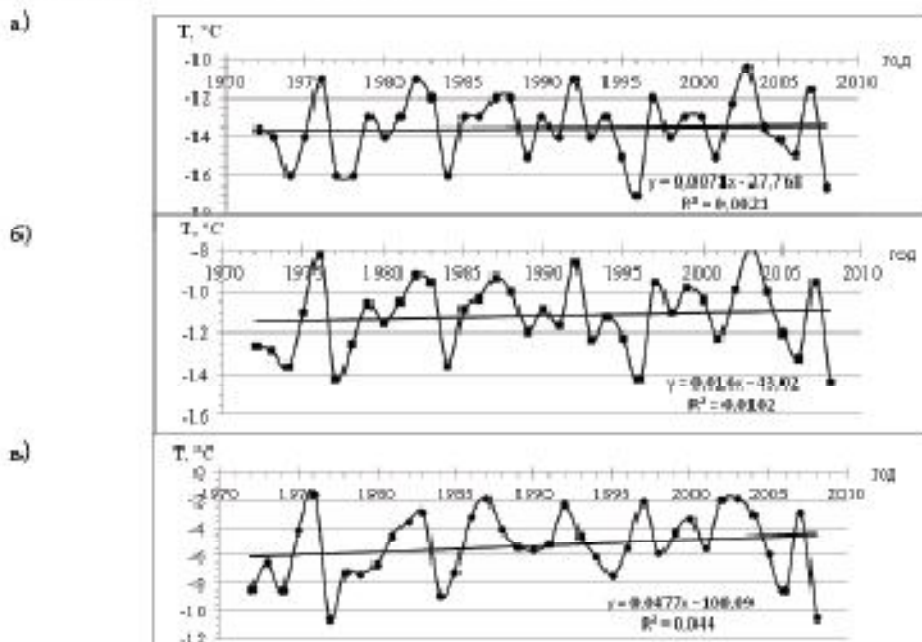


Рисунок 1 – Временной ход средней месячной температуры воздуха в январе за 1972-2008 гг. на МС Туксус-1 (а), МС Мынжилки (б), МС Алматы (в)

Анализ показал, что на станции Туоксу-1 температура воздуха за рассматриваемый период колебалась от минус 17,0 °C в 1996 г. до плюс 10,4 °C в 2000 г. (рис. 1). На станции Мышкинка наименьшее значение температуры воздуха зафиксировано в 2008 г. (минус 14,4 °C), наибольшее – в 2003 г. (плюс 7,9 °C). Максимальная среднемесячная температура воздуха на станции Алматы отмечалась в 1976 г. (минус 1,6 °C), минимальная – в 1977 и 2008 гг. (минус 10,5 °C). Амплитуда колебаний на МС Туоксу-1 и МС Мышкинке составляет 6,6 °C и 6,5 °C, соответственно, отмечается слабые положитель-

ные тренды. На МС Алматы амплитуда колебаний температуры воздуха 8,9 °C, коэффициент линейного тренда имеет положительное значение, температура воздуха снижается в среднем на 0,5 °C/10 лет.

Максимальные значения температуры воздуха в январе на трех станциях одновременно наблюдались в 1976, 1992, 2003, 2007 гг. При этом января 2008 г. отмечен как один из самых холодных с 1972-2008 гг., отклонение от нормы на станции Туоксу-1 составило минус 3 °C, на станции Мышкинке – минус 3,3 °C, на станции Алматы – минус 5,2 °C.

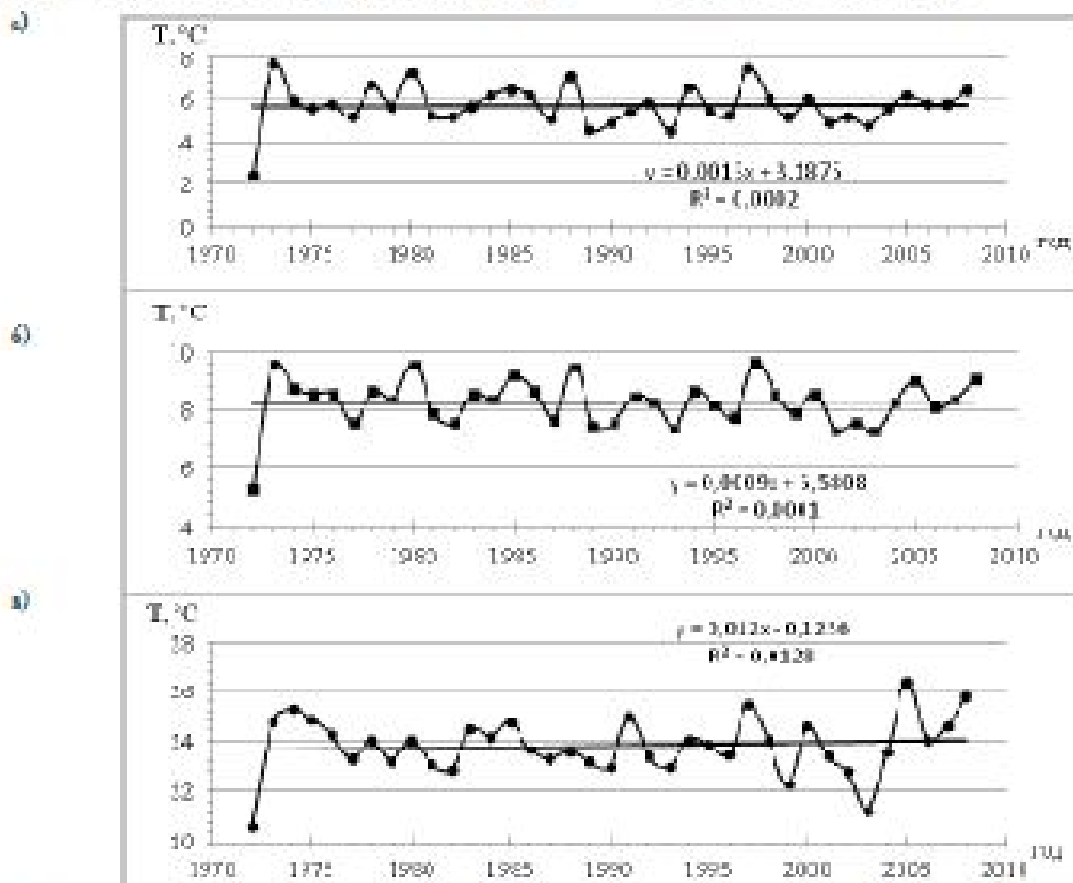


Рисунок 2 – Временной ход средней месячной температуры воздуха в январе за 1972-2008 гг. на МС Туоксу-1 (а), МС Мышкинке (б), МС Алматы (в)

В июле среднемесячные температуры воздуха на рассматриваемых станциях колебались в пределах нормы (рис. 2), отклонения от нормы составили 0-1 °C, исключение было 1972 г. (минус 3,0 °C – минус 3,2 °C). Линейный тренд временного хода температуры воздуха в июле незначительно повышается.

На рисунке 3 показана гистограмма распределения частот температуры воздуха на исследуемых станциях за период 1972 –

2008 гг. В январе на МС Туоксу-1 наблюдалось

(22 случая – 60%) наблюдается температура воздуха в диапазоне от минус 14,4 °C до минус 11,7 °C (при норме минус 13,6 °C), на МС Мышкинке интервал составил от минус 13,1 °C до минус 9,2 °C (норма минус 11,2 °C) в 28 случаях (76%), на МС Алматы температура изменялась от минус 3,4 °C до плюс 1,6 °C в 11 случаях (30%) и от минус 7,0 °C до плюс 5,2 °C в 9 слу-

таких (24%), при средней многолетней величине минус 5,3 °C. В июле на МС Туксусу-1 чаще (24 случая – 65%) наблюдается температура воздуха в диапазоне от 4,9 °C до 6,3 °C (при норме 5,7 °C), на МС Мынжилдын интервал со-

ставляет от 7,1 °C до 8,8 °C (норма – 8,3 °C) в 29 случаях (78%), на МС Алматы температура изменялась от 22,9 °C до 25,2 °C в 28 случаях (76%), при средней многолетней величине 23,8 °C.

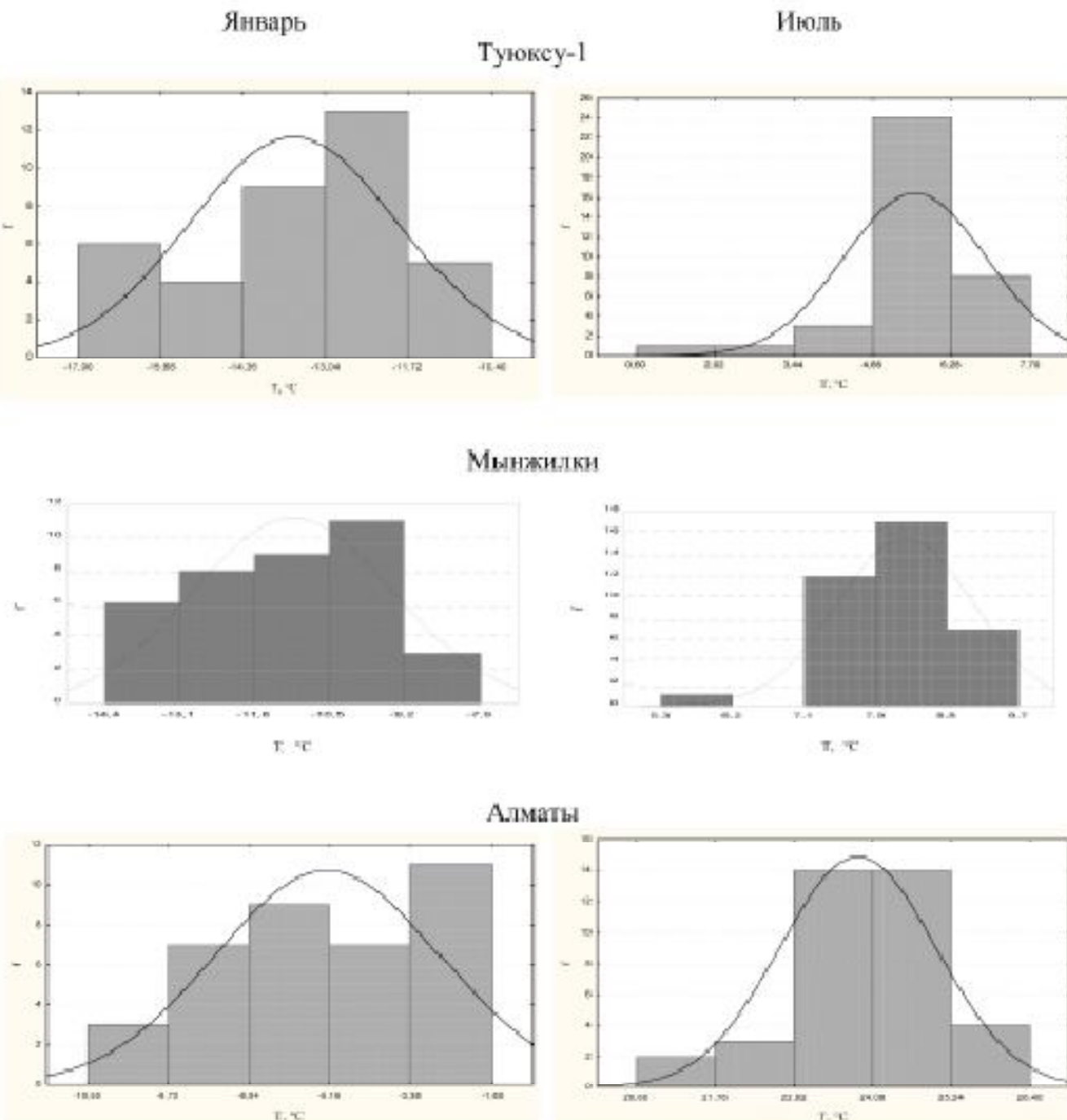


Рисунок 3 – Гистограммы распределение частот температуры воздуха в январе и июле на станциях Туксусу-1, Мынжилки и Алматы за период 1972–2008 гг.

На рисунках 4 и 5 представлен временной ход атмосферных осадков в январе и июле за пе-

риод 1972 – 2008 гг. на МС Туксусу-1, МС Мынжилки, МС Алматы.

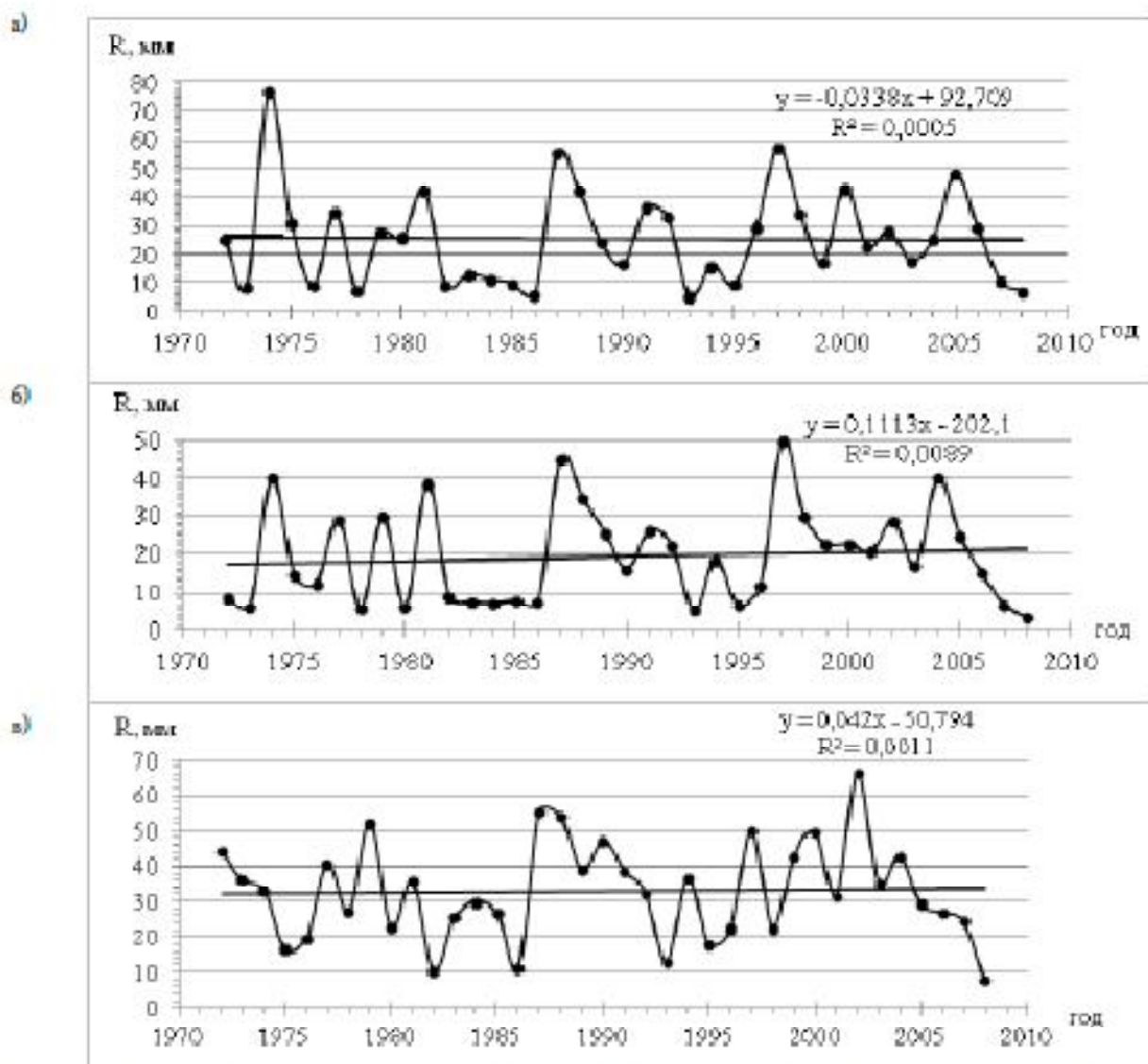


Рисунок 4 – Временной ход осадков в январе за 1972 – 2008 гг. на МС Тувоксу-1 (а), МС Мынсилки (б), МС Алматы (в)

Анализ рисунка 4 показал, что на станции Тувоксу-1 осадки за 1972–2008 гг. колеблются в широких пределах: от 5,2 мм в 1993 г. до 76,7 мм в 1974 г. (норма 27 мм). На станции Мынсилки наименьшее осадки зафиксированы в 2008 г. (3,2 мм), наибольшее – в 1997 г. (49,7 мм), при средних многолетних значениях 19,4 мм. Максимальное количество осадков на станции Алматы выходило в 2001 г. (66,4 мм), минимальное – в 2008 г. (7,8 мм), при норме 32,4 мм. На МС Тувоксу-1 отмечается слабый отрицательный тренд, на МС Мынсилки и МС Алматы коэффициент линейного тренда положителен, осадки увеличиваются в среднем на 1,1 мм/10 лет и 0,4 мм/10 лет, соответственно. На исследуемых станциях дефицит осадков зафиксирован в январь 1986 г. и 2008 г. (осадков в 2–3 раза меньше нормы),

а 1987 г. отличался избыточным осадками (2–3 раза больше средних многолетних значений).

Из рисунка 5 следует, что осадков летом выпадает в 3–5 раз больше, чем зимой [10]. На МС Тувоксу-1 осадки изменяются от 49,4 мм в 1980 г. до 282 мм 1993 г. (норма 156 мм), на МС Мынсилки – от 36,5 мм в 1980 г. до 215,7 в 1990 г. (норма 139,7 мм), из МС Алматы – от 4,8 мм в 1976 г. до 100,9 мм в 1999 г. (норма 40,6 мм). На станциях отмечается увеличение осадков за период 1972–2008 гг., осадки увеличиваются в среднем на 14 мм/10 лет (МС Тувоксу-1 и МС Мынсилки) и на 10 мм/10 лет на МС Алматы. Июль 2003 г. вышло наибольшее количество осадков за рассматриваемый период на трех станциях (МС Тувоксу-1 – 337,2 мм, МС Мынсилки – 340,1 мм, МС Алматы – 127,7 мм).

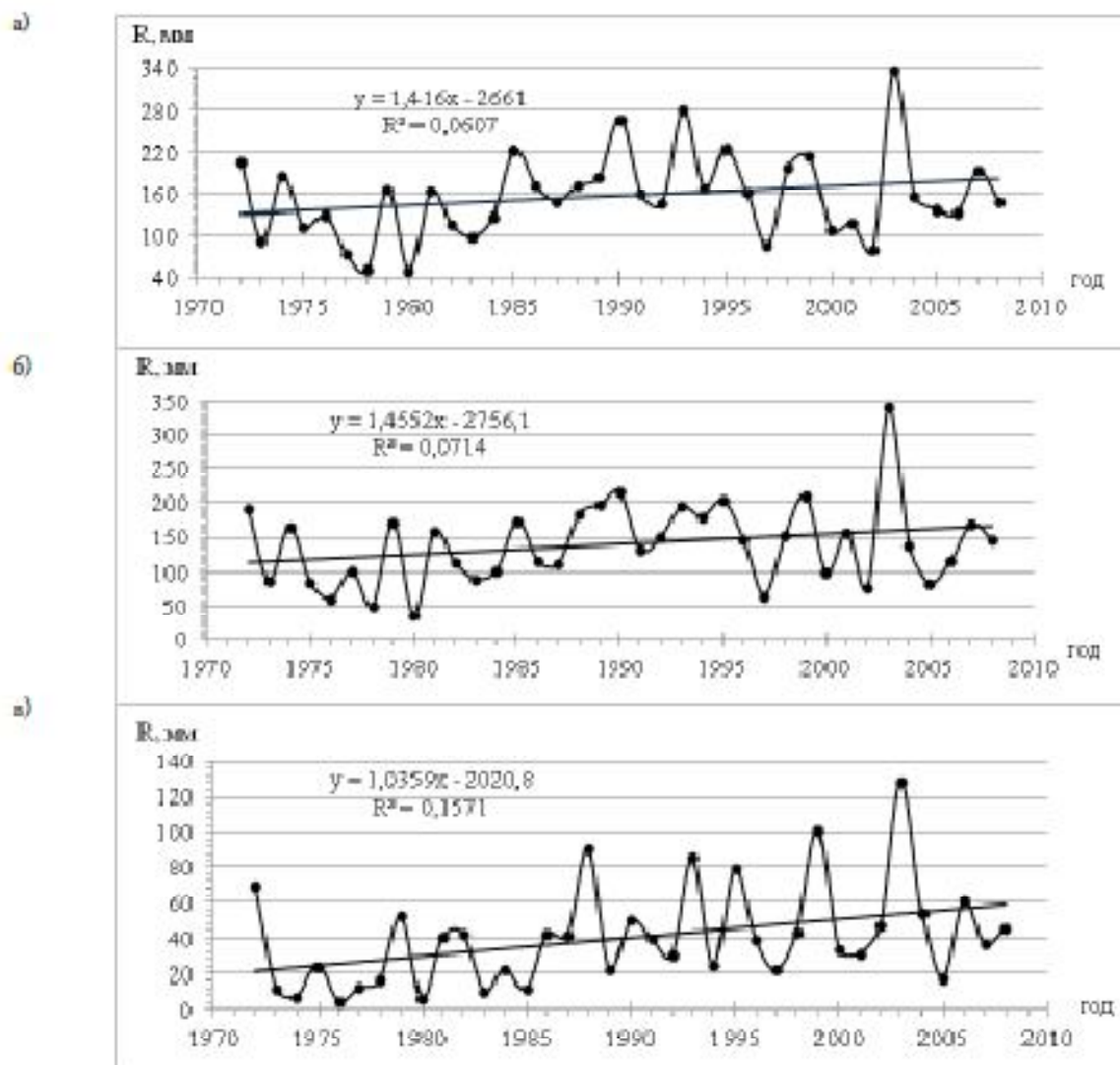


Рисунок 5 – Временной ход осадков в июле за 1972-2008 гг. на МС Тукосу-1 (а), МС Мырзикуль (б), МС Алматы (в)

На рисунке 6 показаны гистограммы распределения частот атмосферных осадков на исследуемых станциях за период 1972 – 2008 гг. В январе на МС Тукосу-1 наиболее часто осадков выпадает в диапазоне 5 – 34 мм, что составляет 27 случаев (73%), на МС Мырзикуль интервал изменения осадков составил 3 – 31 мм – 34 случая (92%), на МС Алматы в 29 случаях (78%) осадки приходятся на промежуток от 20 мм до 43 мм. В июле на МС Тукосу-1 чаще (21 случай – 57%) наблюдаются осадки в диапазоне от 107 мм до 193 мм, на МС Мырзикуль ин-

тервал составил 97 – 218 мм – 27 случаев (73%), на МС Алматы осадки колеблются от 5 мм до 54 мм.

Для анализа климатических особенностей изучаемого района целесообразным является рассмотрение не только изменения основных метеорологических величин – температуры и осадков, но и такую взаимосвязь этих величин с другими параметрами.

Величина годовой испаряемости Е₀ (мм) рассчитана по формуле Тюрика [5] за период 1972-2008 гг.:

$$E_0 = 1.6(300 + 25t + 0.05t^2), \quad (1)$$

где Е₀ – годовая испаряемость (мм);
t – средняя годовая температура воздуха (°C).

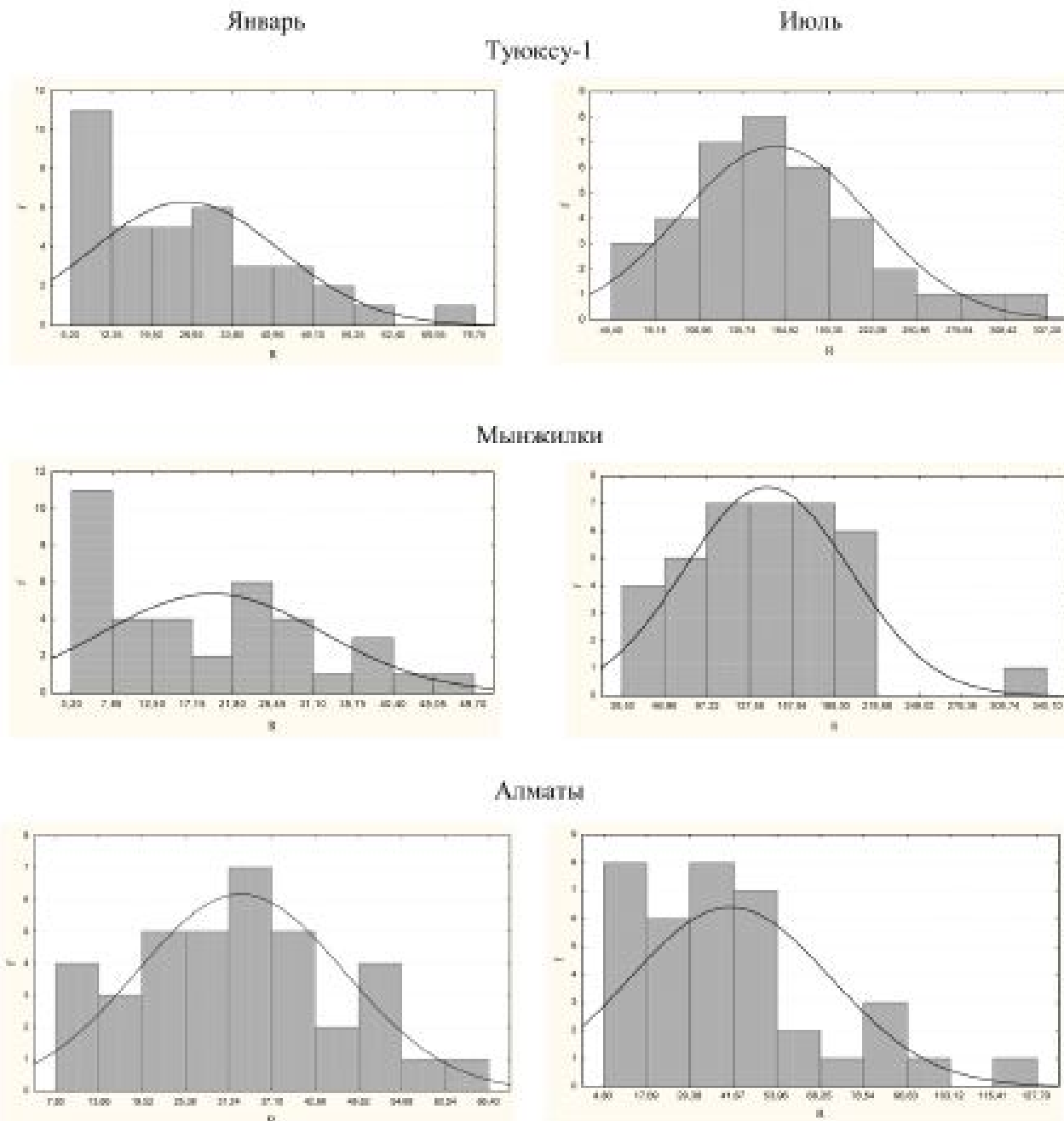


Рисунок 6 – Гистограммы распределение частот осадков в январе и июле на станциях Тукосу-1, Мынжилки и Алматы за период 1972 – 2008 гг.

Формула (1) показывает тесную связь испаряемости со средней годовой температурой воздуха t . Расчет величины испаряемости необходим для вычисления коэффициента увлажнения

(Ку), который представляет собой отношение годового количества осадков к годовой испаряемости, характеризует соотношение влаги и тепла:

$$K_u = R/E_0, \quad (2)$$

где Ку – коэффициент увлажнения;
 R – годовое количество осадков (мм);
 E_0 – годовая испаряемость (мм).

Вычисленные значения испаряемости и коэффициента увлажнения на МС Тузоксу-1, МС

Мынсактты и МС Алматы представлены в таблице 1.

Таблица 1 – Вычисленные значения испаряемости (E_0) и коэффициента увлажнения (K_U) за период 1972 – 2006 гг.

Год	МС Тузоксу-1		МС Мынсактты		МС Алматы	
	E_0	K_U	E_0	K_U	E_0	K_U
1972	279,2	3,8	368,3	2,5	824,5	1,0
1973	332,3	2,6	427,8	2,1	922,4	0,8
1974	242,0	4,0	374,2	2,2	846,5	0,6
1975	283,7	3,5	392,2	1,8	928,6	0,5
1976	283,7	3,5	393,9	2,3	880,7	0,7
1977	323,6	2,7	428,2	2,0	934,8	0,6
1978	327,9	2,1	431,5	1,6	928,6	0,7
1979	319,3	3,3	427,8	2,1	904,3	1,0
1980	349,4	2,8	451,0	1,9	947,3	0,7
1981	310,5	3,7	416,7	2,6	910,3	0,9
1982	319,3	2,3	418,7	1,6	934,8	0,6
1983	327,9	2,8	430,9	1,8	999,3	0,6
1984	274,6	2,8	379,1	1,8	835,4	0,8
1985	319,3	3,3	425,1	2,2	886,5	0,9
1986	306,1	3,2	411,3	2,1	916,3	0,8
1987	323,6	3,9	423,1	2,5	928,6	0,9
1988	332,3	3,0	439,6	2,3	916,3	0,8
1989	279,2	3,8	381,9	2,4	904,3	0,7
1990	353,6	2,8	454,0	1,8	966,4	0,7
1991	314,9	2,5	425,1	1,6	960,0	0,4
1992	323,6	3,2	422,8	2,2	934,8	0,8
1993	301,6	3,8	401,1	2,5	886,5	0,8
1994	357,8	2,2	418,7	2,0	922,4	0,7
1995	310,5	2,5	417,4	1,7	960,0	0,5
1996	279,2	3,6	385,3	2,2	898,3	0,7
1997	362,0	1,9	458,0	1,3	1012,8	0,5
1998	357,8	3,2	457,3	2,1	979,4	0,8
1999	340,9	3,1	450,6	2,4	979,4	0,7
2000	319,3	3,5	426,5	2,3	999,3	0,6
2001	336,6	2,5	444,9	1,9	986,0	0,6
2002	357,8	2,9	454,3	1,9	1006,0	0,9

	319,3	3,2	419,7	2,9	922,4	1,0
2004	327,9	1,7	449,3	1,8	1026,5	0,7
2005	323,6	3,2	438,2	2,1	1012,8	0,6
2006	362,0	2,7	460,0	1,9	1054,5	0,7
2007	370,4	2,6	464,0	1,7	1040,4	0,6
2008	353,6	2,3	456,0	1,5	1040,4	0,5
Среднее	321,8	3,0	425,0	2,0	944,3	0,7

Согласно таблицы 1, максимальное значение испаряемости на МС Тукоксу-1 составило 370,4 мм в 2007 г., минимальное – 242 мм в 1974 г., среднее значение испаряемости –

321,8 мм. На МС Мынжилки Ео изменяется от 368,3 мм (1972 г.) до 464,0 мм (2007 г.), среднее значение – 425,0 мм. Среднее значение испаряемости на МС Алматы равно 944,3 мм, при этом диапазон изменения от 824,5 мм (1972 г.) до 1054,5 мм (2006 г.). Испарения за рассматриваемый период имеют ярко выраженный положительный линейный тренд, при этом средняя скорость роста составила 11,9 мм/10 лет, 8,9 мм/10 лет и 26,6 мм/10 лет на станциях Тукоксу-1, Мынжилки и Алматы, соответственно. Так как испаряемость является функцией от средней годовой температуры воздуха, то при изменении температуры изменяется и испаряемость.

Наибольший коэффициент увлажнения отмечается на станции Тукоксу-1 и составил 3,0, наименьший на станции Алматы – 0,7. В соответствии с градацией степени увлажнения по

Н. Иванову [11], Алматы (671 над ур. м.) относится к зоне умеренного увлажнения. Районы ледника Тукоксу (3450 м над ур. м.) и станции Мынжилки (3017 м над ур. м.) относятся к зоне избыточного увлажнения, что подтверждает выводы многих ученых [2, 12-14] о том, что ледник Тукоксу получает максимум увлажнения на северном микросклоне Илейского Алатау.

Для анализа влияния климатических изменений на гляциологические характеристики ледника Тукоксу построены корреляционные зависимости между метеорологическими параметрами и параметрами ледника за исследуемый период. При рассмотрении корреляционной зависимости между годовой суммарной аккумуляцией ледника и суммарным годовым количеством осадков была выявлена положительная корреляционная связь ($r = 0,55$), т.е. при увеличении осадков наблюдается и аккумуляция. На рисунке 7 показан график корреляционной зависимости между осадками и аккумуляцией на леднике.

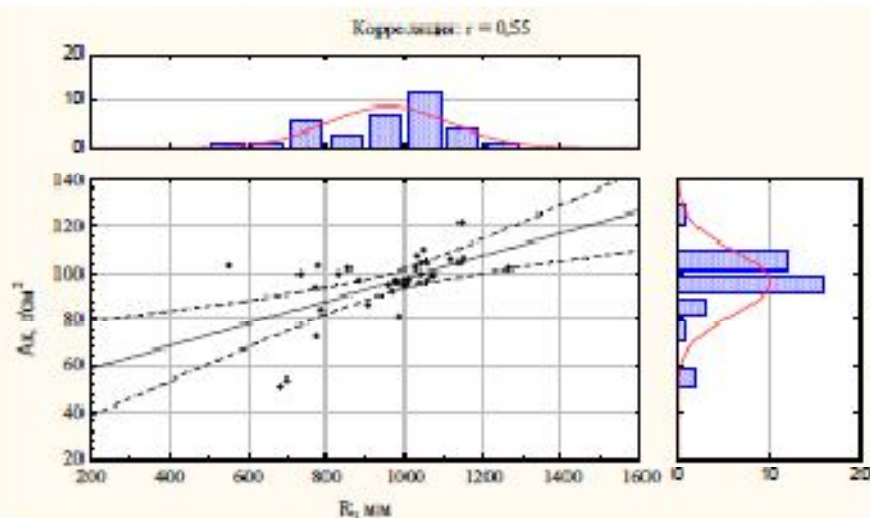


Рисунок 7 – Корреляционная зависимость между суммарным годовым количеством осадков и годовой аккумуляцией ледника Тукоксу

Очевидно, что такая корреляционная связь ($r = 0,55$) объясняется тем, что осадки рассматриваются без учета их фазового состава. Известно, что твердые осадки благоприятствуют оттепенению. В то же время жидкие осадки поглощаются снежной толщей и прогревают ее, и таким образом неблагоприятны для аккумуляции ледника. Тем не менее, установлено, что в условиях холодных вторжений влажных циклонических масс идет пополнение области аккумуляции выпадающими осадками в любом фазовом состоянии.

При анализе средней летней температуры

воздуха, приведенной на среднюю высоту границы питания ледника, и высотой снеговой границы коэффициент корреляции составил $r = 0,46$, то есть при увеличении температуры прослеживается увеличение высоты границы питания (рис. 8).

При рассмотрении средней летней температуры воздуха, приведенной к средней снеговой границы ледника, и годового баланса массы коэффициент корреляции с t_{a} составил $r = -0,5$, т.е. чем выше температура, тем большие абляции и, соответственно, тем меньше баланс массы.

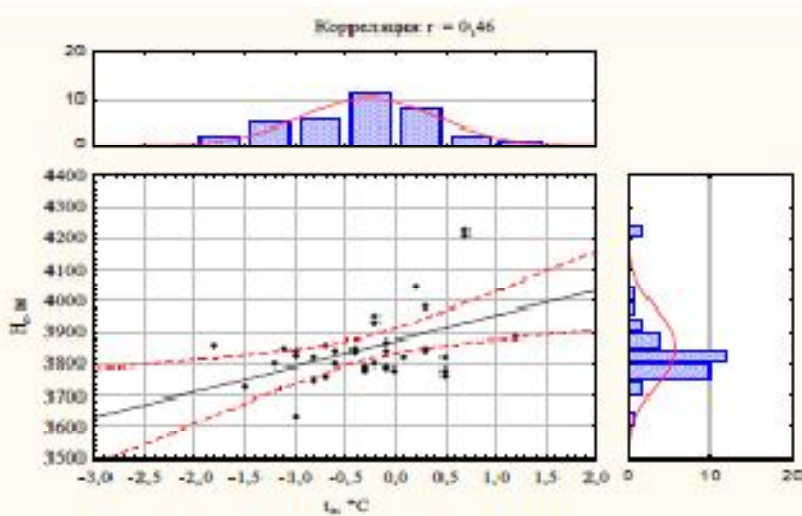


Рисунок 8 – Корреляционная зависимость высоты границы питания от средней летней температуры воздуха t_a , приведенной к средней высоте границы питания ледника Тукоксу

Коэффициент корреляции годового баланса массы от средней летней температуры воздуха,

приведенной к средней границе питания ледника, составил $r = -0,5$ (рис. 9).

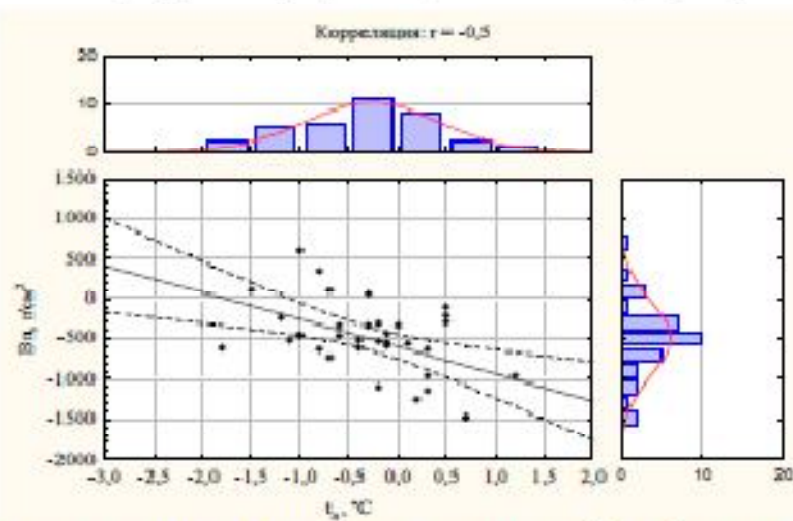


Рисунок 9 – Корреляционная зависимость годового баланса массы ледника от средней летней температуры воздуха на средней высоте снеговой границы

В соответствие с рисунком 9 наблюдается разброс значений относительно регрессионной кривой, которая направлена вниз и тем самым показывает обратную связь, т.е. при увеличении средней летней температуры воздуха баланс массы уменьшается. Это очевидно, так как температура является одной из основных причин таяния (абляции) ледника. Баланс массы же складывается из аккумуляции и аблации. Таким образом, температура воздуха, повышаясь, увеличивает аблацию и

уменьшается общий баланс массы ледника.

Полученные результаты и выводы могут быть использованы при рассмотрении вопроса изменения основных метеорологических величин за последние годы в районе ледника, при анализе изменчивости данных величин с высотой, а также при исследовании их взаимосвязи с гляциологическими параметрами ледника Туоксу. Данные вопросы являются важными и актуальными в изучении современного изменения климата.

Литература

1. Вилесов Е.Н., Уваров В.Н. Колебания горных ледников как индикатор изменения климата // Гидрометеорология и экология. – 1997. – №3. – С. 165-173.
2. Вилесов Е.Н., Уваров В.Н. Эволюция оледенения Западного Алатау в 20 веке. – Алматы: Казах университет, 2001. – С. 38-40.
3. Ерисковская Л.А. Влияние климатических изменений на оледенение в высокогорной зоне Западного Алатау на примере ледника Туоксу // Гидрометеорология и экология. – 2003. – №4. – С. 31-34.
4. Пищевъ Е.Н. Современные изменения климата гляциально-нивальной зоны Юго-Восточного Казахстана // Научный журнал «Терра». – 2007. – №2. – С. 52-60.
5. Вилесов Е.Н. Изменение климата высокогорья Илецкого Алатау в условиях глобального потепления // Гидрометеорология и экология. – 2007. – №1. – С. 29-36.
6. Микаревич К.Г. Ледник Центральный Туоксуский от Международного Геофизического года до настоящего времени // Материалы научно-практической конференции «Географические проблемы устойчивого развития: теория и практика». – Алматы, 2008. – С. 81-88.
7. Микаревич К.Г., Касаткин Н.Е. Полновековые исследования баланса массы Центрального Туоксусского ледника в Западном Алатау // Географические проблемы устойчивого развития: теория и практика. Материалы научно-практической конференции, посвященной 70-летию Института Географии АО ЦНМО РК. – Алматы, 2008. – С. 99-111.
8. Андреев А.О., Дувальская М.В., Фролов С.В. Из истории Международного полярного года // Проблемы Арктики и Антарктики. – 2007. – №75. – С. 7-10.
9. Микаревич К.Г. Организация и проведение научно-исследовательских работ по программе МГГ на Малоалматинских ледниках в Западном Алатау // Гляциологические исследования в период МГГ. Западный и Джунгарский Алатау. – 1961. – №1. – С. 5-13.
10. Справочник по климату Казахстана. Многолетние данные. – Алматы, 2004. – Вып. 14. – Раздел 1. Температура воздуха. Раздел 2. Атмосферные осадки. – 563 с.
11. Иванов Н.Н. Зоны увлажнения земного шара // Известия АН СССР. Серия геогр. и геофиз. – 1941. – №3. – С. 261-288.
12. Пильцов Н.Н. Современное оледенение в Западном Алатау. – Алма-Ата: АН КазССР, 1958. – 312 с.
13. Микаревич К.Г., Вилесов Е.Н. и др. Ледники Туоксу (Северный Тянь-Шань). Водно-ледниковой и тепловой баланс горноледниковых бассейнов. – Л.: Гидрометеоиздат, 1984. – 174 с.
14. Физическая география Казахстана / под ред. А.А. Науменко. – Алматы: Казах университет, 2009. – 362 с.

Reference

1. Vilesov E.N., Uvarov VN. Kolebanija gornyh lednikov kak indikator izmenenija klimata // Gidrometeorologija i ekologija. – 1997. – №3. – S. 165-173.
2. Vilesov E.N., Uvarov VN. Jevoljucija oledenenija Zailijskogo Alatau v 20 veke. – Almaty: Kazak universiteti, 2001. – S. 38-40.
3. Eriskovskaja L.A. Vlijanie klimaticheskikh izmenenij na oledenie v vysokogornoj zone Zailijskogo Alatau na primere lednika Tujuksu // Gidrometeorologija i ekologija. – 2003. – №4. – S. 31-34.
4. Piven' E.N. Sovremennye izmenenija klimata glacial'no-nival'noj zony Jugo-Vostochnogo Kazahstana // Nauchnyj zhurnal «Terra». – 2007. – №2. – S. 52-60.
5. Vilesov E.N. Izmenenie klimata vysokogor'ja Ilejskogo Alatau v uslovijah global'nogo potepleniya // Gidrometeorologija i ekologija. – 2007. – №1. – S. 29-36.
6. Makarevich K.G. Lednik Central'nyj Tujuksujskij ot Mezhdunarodnogo Geofizicheskogo goda do nastrojashchego vremeni // Materialy nauchno-prakticheskoy konferencii «Geograficheskie problemy ustojchivogo razvitiya: teoriya i praktika». – Almaty, 2008. – S. 81-88.
7. Makarevich K.G., Kasatkin N.E. Pohnovkovye issledovaniya balansa massy Central'nogo Tujuksujskogo lednika v

- Zailijskom Alatau // Geograficheskie problemy ustoichivogo razvitiya: teoriya i praktika. Materialy nauchno-prakticheskoy konferencii, posvyashchennoj 70-letiju Instituta Geografii AO CNZMO RK. – Almaaty, 2008. – S. 99-111.
8. Andreev A.O., Dukal'skaja M.V., Frolov S.V. Iz istorii Mezhdunarodnogo poljarnogo goda // Problemy Arktiki i Antarktiki. – 2007. – №75. – S. 7-10.
 9. Makarevich K.G. Organizacija i provedenie nauchno-issledovatel'skih rabot po programme MGG na Maloalmatinskikh lednikakh v Zailijskom Alatau // Glaciologicheskie issledovaniya v period MGG. Zailijskij i Dzhungarskij Alatau. – 1961. – №1. – S. 5-13.
 10. Spravochnik po klimatu Kazahstana. Mnogoletnie dannye. – Almaaty, 2004. – Vyp. 14. – Razdel 1. Temperatura vozduha. Razdel 2. Atmosfernye osadki. – 563 s.
 11. Ivanov N.N. Zony uvlazhneniya zemnogo shara // Izvestija AN SSSR. Serija geogr. i geofiz. – 1941. – №3. – S. 261-288.
 12. Pal'gov N.N. Sovremennoe oledenenie v Zailijskom Alatau. – Alma-Ata: AN KazSSR, 1958. – 312 s.
 13. Makarevich K.G., Vilesov E.N. i dr. Ledniki Tujuksu (Severnyj Tjan'-Shan'). Vodno-tekhnicheskiy i teplovoy balans gornolednikovykh bassejnov. – L.: Gidrometeoizdat, 1984. – 174 s.
 14. Fizicheskaja geografiya Kazahstana / Pod red. A.A. Naumenko. – Almaaty: Kazak universiteti, 2009. – 362 s.